

## 多孔発破における最大速度振幅の重畠効果について

山口大学工学部 正 国松 直

山口大学工学部 正 三浦房紀

山口大学工学部 正 中川浩二

鴻池組（株） 正○坂本匡規

1.はじめに 発破振動は従来より最大速度振幅（PPV）を用いて規制がなされてきた。その予測式として経験則に基づく  $PPV = KW D^{-\beta}$  なる式が一般的に使用されている。ここで、K、 $\alpha$ 、 $\beta$ は定数、Wは薬量（kg）、Dは爆源からの距離（m）である。この式において、Wに対する明確な規定は今のところなく、多孔発破においては同段当りの薬量が用いられているようである。

本研究は薬量と発破のエネルギーが比例すると仮定して動的FEM解析により、多孔発破における薬量、発破孔間隔、秒時差がPPVに及ぼす影響を調べたものである。

2. 解析方法 図1に解析モデルを示す。境界はすべて粘性境界とし、波の反射を吸収するようにした。要素は1辺が10cmの正方形であり、材料定数はヤング率  $6 \times 10^6 \text{ kg/m}^2$ 、単位体積重量  $1600 \text{ kg/m}^3$ 、ポアソン比 0.32である。解析は平面ひずみ問題とし、着目点A、Bの速度波形について PPVを求めた。載荷荷重は載荷時間 4msと極めて短いベル型荷重とした。解析における1ステップの時間刻みは0.1msである。

2-1 斉発発破を模擬した解析 1点載荷、2点、4点同時載荷を行い、それぞれ单発、2孔、4孔斉発発破を模擬した。2点、4点載荷ではモデル中心軸に対称に載荷点間隔をとり解析を行った。図1の下向き矢印は2点載荷時の載荷位置の1例である。載荷点間隔（d）は2点同時載荷では 0, 20, 40, 60, 80, 120cm、4点同時載荷では 0, 20, 40, 60, 80cm とした。また各載荷点に対応した位置で1点載荷を行った。

発破のエネルギーが薬量に比例するという考えは一般に認められているようである。この考えに従えば、多孔発破において各孔の薬量が同一の場合には各爆源におけるエネルギーは等しくなければならない。そこで、解析においても載荷点のエネルギーを荷重～変位曲線で囲まれた面積により算出し、各載荷点のエネルギーが等しくなるようにベル型荷重のピーク値を調整した。

2-2 段発発破を模擬した解析 2孔段発発破を模擬し、載荷点間隔 20cm、秒時差 8ms の解析を行った。

3. 解析結果および考察 図2、3の実線は各々2点、4点同時載荷による点A、BのPPVを dに対してプロットした結果である。両図とも dが 0のとき PPVは最も小さく、dの増加に伴いピークを示し、その後漸減する傾向を示している。

2点、4点同時載荷の載荷点に対応した位置で1点載荷により得られた点A、Bの速度波形を用いて2点、4点同時載荷に対する重畠シミュレーション（各波形の線

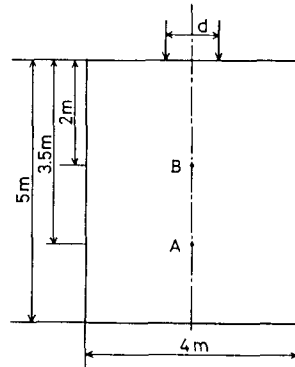


図1 解析モデル

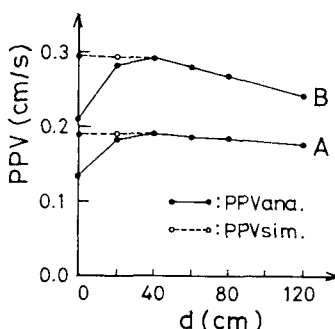


図2 2点載荷のPPV変化

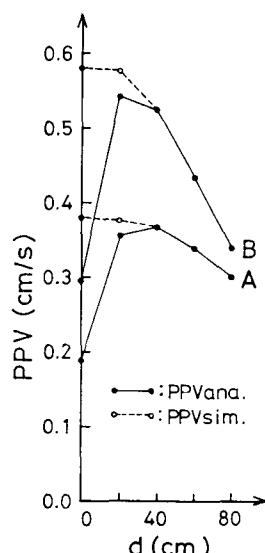


図3 4点載荷のPPV変化

形な重ね合せ）を行った。図2、3の破線はその結果である。これらの図からある孔間隔以上では重畠シミュレーションによるPPV(PPVs<sub>sim.</sub>)は解析によるPPV(PPV<sub>ana.</sub>)と一致することがわかる。図4は図2、3をもとに縦軸にPPV<sub>ana.</sub>/PPVs<sub>sim.</sub>、横軸にdを取りプロットした結果である。図4(a)は2点、図4(b)は4点載荷の場合である。どちらの場合も点A、Bの結果は等しく●で示した。PPV<sub>ana.</sub>/PPVs<sub>sim.</sub>はdが0で最小を示し、dの増加に伴いPPV<sub>ana.</sub>/PPVs<sub>sim.</sub>も増加し、ある孔間隔(これをd\*とする)から一定(PPV<sub>ana.</sub>/PPVs<sub>sim.</sub>=1)となることがわかる。またd=0に対するPPV<sub>ana.</sub>/PPVs<sub>sim.</sub>は2点載荷に対して1/√2、4点載荷に対して1/2となっている。

図5は中心軸から10cmの位置で、1点載荷により得られた点Bの速度波形である。図6は段発発破を模擬した解析より得られた速度波形である。図6の波形は図5の波形が8ms遅れて繰り返されていることがわかる。段発発破を模擬した解析結果は重畠シミュレーション結果と一致する。

4. 最大速度振幅の推定式 多孔発破で各孔の薬量が同じであるとき、単発発破による速度波形、またはPPVs(単発発破のPPV)を用いて図4の結果をもとに次の3つの場合に分けて予測式が考えられる。

#### (1) 齊発発破

##### ① 孔間隔が狭く集中装薬とみなせる場合

(図4のd=0に相当)

$$\text{PPV}_{\text{ana.}}/\text{PPV}_{\text{sim.}} = 1/\sqrt{N} \quad \dots \quad (1)$$

この場合、PPV<sub>sim.</sub>=N·PPVsと表せる。

##### ② ①より孔間隔が広く集中装薬とみなせない場合 (図4のa領域)

d\*まで指標的に増加すると仮定すれば

$$\text{PPV}_{\text{ana.}}/\text{PPV}_{\text{sim.}} = ((d/d^*)^r \cdot (1 - 1/\sqrt{N}) + 1/\sqrt{N}) \quad \dots \quad (2)$$

##### ③ ②以上の孔間隔の場合(図4のb領域)

重畠シミュレーションによるPPV

#### (2) 段発発破

齊発発破の③と同様、重畠シミュレーションによるPPV

ここに、 $\text{PPV}_s = K W^{\alpha} D^{-\beta}$  であり、Wは孔当たりの薬量である。またNは孔数、dは孔間隔、d\*は②と③の境界の孔間隔である。図4の実線は式(2)を用いてd\*=40cm、(a)はr=0.22、(b)はr=0.155として計算した結果である。

以上の結果より、単発発破の速度波形から孔間隔、秒時差の影響を考慮するだけで多孔発破時のPPVを上記の3つの場合に分けて予測することが可能と思われる。

**謝辞:** 本研究の一部は文部省科学研究費補助金(奨励)によったことを付記し謝意を表す。

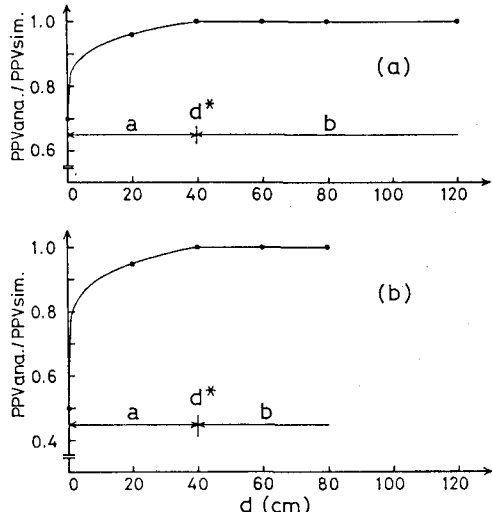


図4 PPV<sub>ana.</sub>/PPV<sub>sim.</sub> と孔間隔の関係

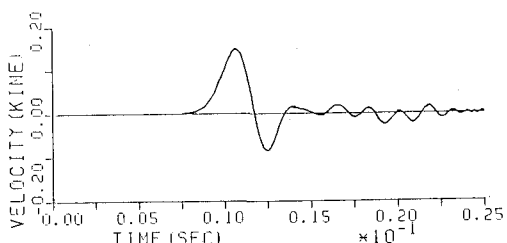


図5 1点載荷の速度波形(d/2=10cm、点B)

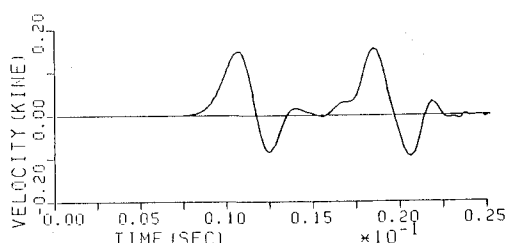


図6 時間差8msをつけた2点載荷の速度波形(d=20cm、点B)